

二次元 流路의 入口部分에서의 層流流動

高 亮 文
機 械 工 學 科

〈要 約〉

半無限 水槽의 壁에 直角으로 붙어 있는 二次元 流路에서의 流動問題를 等角寫像을 利用하여 座標變換을 한 다음 差分法을 適用하여 數值解析 하였다.

實際 計算은 Reynolds數가 5 및 10인 경우에 對하여 하였으며, 流動函數와 渦度, 그리고 管路에서의 速度展開 및 壓力降下를 구하였다.

Laminar Entrance Flow in a Two Dimensional Straight Channel

Koh, Yang Moon
Dept. of Mechanical Engineering

〈Abstract〉

Laminar flow in the inlet region of a two dimensional straight channel which is connected rigidly to the wall of a cistern was studied numerically.

Stream functions and vorticities were obtained for the Reynolds numbers of 5 and 10. Velocity developments and pressure losses along the channel were also calculated.

I. 序 論

管의 入口部分에서의 流動에 關하여서는 이제까지 解析的으로나 數值的으로 많은 研究가 되어왔다. (1~12) 그러나 筆者가 아는한 이제까지의 대부분의 研究는 管의 入口斷面에서는 流速이 均一한 것이라고 假定되었었다.

이에 對하여 半無限水槽의 壁에 直角으로 붙어있는 二次元 流路에서의 流動을 解析함으로써 管이 入口에서의 流動이 어떻게 되는가를 검토하여 보려는 노력이 筆者에 의하여 시도되었었다. (13) 그러나 당시의 論文에서는 管壁에 垂直한 座標 y 를 $y = \cos\beta$ 로 變換한 結果 管壁 $y=1$ 이 特異點이 되어 不定確한 結果가 얻어졌을 가능성이 있다.

따라서 本 研究에서는 等角寫像을 利用하여 流動

領域을 無限平行平板 사이의 領域으로 變換하고 다시 이를 有限한 四角領域으로 變換하여 差分法을 適用, 運動方程式을 代數方程式으로 바꾸어 各節點에서의 流動函數와 渦度(vorticity)를 구하였다.

실제 計算은 Reynolds數가 5 및 10인 두 경우에 對하여 실시 하였다.

II. 基本 方程式

그림 1에서와 같이 半無限 水槽의 壁에 距離 $2L$ 만큼 떨어진 두 개의 半無限平行平板이 直角으로 붙어 있고, 이 사이로 非壓縮性 流體가 흐른다고 假定하자.

基本運動方程式은 流動函數 ϕ 와 渦度 ζ 로 表示하면 다음과 같이 된다. 즉

$$\frac{\partial \phi}{\partial y} \frac{\partial \zeta}{\partial x} - \frac{\partial \phi}{\partial x} \frac{\partial \zeta}{\partial y} = \nu \left(\frac{\partial^2 \zeta}{\partial x^2} + \frac{\partial^2 \zeta}{\partial y^2} \right)$$

$$\frac{\partial^2 \phi}{\partial x^2} + \frac{\partial^2 \phi}{\partial y^2} = -\zeta$$

이거저 ν 는 粘性係數를 나타낸다. 또

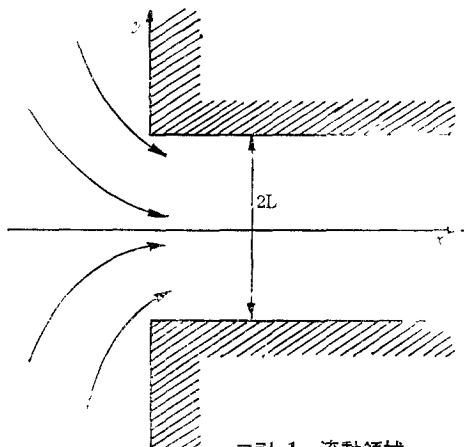


그림 1. 流動領域

境界條件은 다음과 같이 된다. 즉

$$\begin{aligned} x > 0, y = L \text{에서} \quad & \phi = u_m L, \quad \frac{\partial \phi}{\partial y} = 0 \\ x = 0, y > L \text{에서} \quad & \phi = u_m L, \quad \frac{\partial \phi}{\partial x} = 0 \\ y = 0 \text{에서} \quad & \phi = 0, \quad \zeta = 0 \\ x \rightarrow \infty \text{일 때} \quad & \phi = \frac{1}{2} u_m y \left[3 - \left(\frac{y}{L} \right)^2 \right], \\ & \zeta = \frac{3u_m y}{L^2} \end{aligned}$$

이거저 u_m 은 x 축에서의 平均流速을 나타낸다. 한편 x 축의 上流 즉 $x^2 + y^2 \rightarrow \infty$ 인 곳에서의 境界條件은 경각리는 Jeffrey-Hamel 流動^(11,15)의 解를 利用하여야 하나 여기서는 단순히 potential 流動을 假定하였다. 즉

$$x^2 + y^2 \rightarrow \infty \text{일 때} \quad \phi = -\frac{2}{\pi} u_m L \tan^{-1} \frac{y}{x}, \quad \zeta = 0$$

이들 式을 다시 無次元變數

$$\begin{aligned} x' = x/L, \quad y' = y/L, \\ \phi' = \phi/u_m L, \quad \zeta' = \zeta L/u_m, \\ R = u_m L/\nu \end{aligned}$$

를 나타내면 運動方程式은

$$\begin{aligned} \frac{\partial \phi'}{\partial y'} \frac{\partial \zeta'}{\partial x'} - \frac{\partial \phi'}{\partial x'} \frac{\partial \zeta'}{\partial y'} &= \frac{1}{R} \left(\frac{\partial^2 \zeta'}{\partial x'^2} + \frac{\partial^2 \zeta'}{\partial y'^2} \right) \\ \frac{\partial^2 \phi'}{\partial x'^2} + \frac{\partial^2 \phi'}{\partial y'^2} &= -\zeta' \end{aligned}$$

으로 되고, 境界條件은

$$\begin{aligned} x' > 0, y' = 1 \text{에서} \quad & \phi' = 1, \quad \frac{\partial \phi'}{\partial y'} = 0 \\ x' = 0, y' > 1 \text{에서} \quad & \phi' = 1, \quad \frac{\partial \phi'}{\partial x'} = 0 \end{aligned}$$

$$\begin{aligned} y' = 0 \text{에서} \quad & \phi' = 0, \quad \zeta' = 0 \\ x' \rightarrow \infty \text{일 때} \quad & \phi' = \frac{1}{2} y'(3 - y'^2), \quad \zeta' = 3y' \\ x'^2 + y'^2 \rightarrow \infty \text{인 때} \quad & \phi' = -\frac{2}{\pi} \tan^{-1} \frac{y'}{x'}, \quad \zeta' = 0 \end{aligned}$$

이 된다.

이제 複雜한 流動領域을 無限帶狀의 單純한 領域으로 交換하기 위하여 座標變換

$$z = \frac{1}{\pi} \left[-2(e^{-\alpha} + 1)^{1/2} + \log \frac{(e^{-\alpha} + 1)^{1/2} + 1}{(e^{-\alpha} + 1)^{1/2} - 1} \right]$$

$$z = x' + iy'$$

$$w = \alpha + i\beta$$

를 하고 求차원 유동함수 및 와도들 '을 代入그 간 단히 ϕ, ζ 로 기록하면 運動方程式은

$$\frac{\partial^2 \zeta}{\partial \alpha^2} - \frac{\partial^2 \zeta}{\partial \beta^2} = R \left[\frac{\partial \phi}{\partial \beta} \frac{\partial \zeta}{\partial \alpha} - \frac{\partial \phi}{\partial \alpha} \frac{\partial \zeta}{\partial \beta} \right]$$

$$\frac{\partial^2 \phi}{\partial \alpha^2} + \frac{\partial^2 \phi}{\partial \beta^2} = -h^2 \zeta$$

$$h^2 = [e^{-2\alpha} + 2e^{-\alpha} \cos \beta + 1]^{1/2}$$

이 되고, 境界條件은 간단히

$$\beta = 1 \text{에서} \quad \phi = 1, \quad \frac{\partial \phi}{\partial \beta} = 0$$

$$\beta = 0 \text{에서} \quad \phi = 0, \quad \zeta = 0$$

$$\alpha \rightarrow -\infty \text{일 때} \quad \phi = \beta, \quad \zeta = 0$$

$$\alpha \rightarrow \infty \text{일 때} \quad \phi = \frac{1}{2} \beta(3 - \beta^2), \quad \zeta = 3\beta$$

로 된다.

마지막으로 無限帶를 四角領域으로 변환하기 위하여 좌표 변환

$$\xi = \tanh k\alpha, \quad \eta = \beta$$

즉

$$\alpha = \frac{1}{2k} \log \frac{1 + \xi}{1 - \xi}, \quad \beta = \eta$$

를 하면 運動方程式은

$$\begin{aligned} k^2(1 - \xi^2)^2 \frac{\partial^2 \zeta}{\partial \xi^2} - 2k^2 \xi(1 - \xi^2) \frac{\partial \zeta}{\partial \xi} + \frac{\partial^2 \zeta}{\partial \eta^2} \\ = kR(1 - \xi^2) \left(\frac{\partial \phi}{\partial \eta} \frac{\partial \zeta}{\partial \xi} - \frac{\partial \phi}{\partial \xi} \frac{\partial \zeta}{\partial \eta} \right) \end{aligned} \quad (1)$$

$$k^2(1 - \xi^2)^2 \frac{\partial^2 \phi}{\partial \xi^2} - 2k^2 \xi(1 - \xi^2) \frac{\partial \phi}{\partial \xi} + \frac{\partial^2 \phi}{\partial \eta^2} = -h^2 \zeta \quad (2)$$

$$h^2 = (e^{-2\alpha} + 2e^{-\alpha} \cos \beta + 1)^{1/2}$$

과 같이 되고, 邊界條件은

$$\xi = -1 \text{에서} \quad \phi = \eta, \quad \zeta = 0$$

$$\xi = 1 \text{에서} \quad \phi = \frac{1}{2} \eta(3 - \eta^2), \quad \zeta = 3\eta$$

$$\eta = 0 \text{에서} \quad \phi = 0, \quad \zeta = 0$$

$$\eta=1 \text{ 에서 } \phi=1, \quad -\frac{\partial\phi}{\partial\eta}=0$$

과 같이 변환된다. 여기서 k 는 常數로서 그 값을 적절히 택함으로써 差分式으로 변환시 節點들의 位值를 조절할 수 있다. 本論文에서는 0.5를 택하였다.

한편 流速과 壓力은 各各 流動函數의 定義式과 Navier-Stokes方程式으로부터 간단히 구할 수 있으며, 管路 中心線 즉 $y=\eta=0$ 에서의 流速 u_c 및 壓力 p 는 式

$$\frac{u_c}{u_m} = \frac{1}{\sqrt{e^{-\alpha}+1}} \frac{\partial\phi}{\partial\eta} \quad (3)$$

$$\frac{p}{\rho u_m^2} + \frac{1}{2} \frac{u^2}{u_m^2} = -\frac{1}{kR} \int \frac{1}{1-\xi^2} \cdot \frac{\partial\zeta}{\partial\eta} d\xi \quad (4)$$

로 표시 된다. 여기서 ρ 는 유체의 밀도를 나타낸다 또 固體境界面 $\eta=1$ 에서의 過渡는 식(2)

에 $\frac{\partial\phi}{\partial\xi} = \frac{\partial^2\phi}{\partial\xi^2} = 0$ 인 조건을 代入하면

$$\zeta_{\eta=1} = -\frac{1}{h^2} \frac{\partial^2\phi}{\partial\eta^2} \quad (5)$$

$$h^2 = |1 - e^{-\alpha}|$$

으로 된다.

III. 數值解析

영역 $-1 < \xi < 1, 0 < \eta < 1$ 을 그림 2에서와 같이 四角mesh로 分割하고 各 節點 (i, j) 에 對하여 差分法¹⁾을 適用하면 式(2)는 다음과 같이 변형된다. 즉

$$\begin{aligned} & \left[2k^2(1-\xi_j^2)^2 + \frac{a^2}{b^2} \right] \phi_{i,j} \\ & - k^2(1-\xi_j^2)(1-\xi_j^2 + a\xi_j) \phi_{i,j-1} \\ & - k^2(1-\xi_j^2)(1-\xi_j^2 - a\xi_j) \phi_{i,j+1} - \frac{a^2}{b^2} \phi_{i-1,j} \\ & - \frac{a^2}{b^2} \phi_{i+1,j} = a^2 h_{i,j}^2 \zeta_{i,j} \end{aligned} \quad (6)$$

$$h_{i,j}^2 = (e^{-2\alpha_j} + 2e^{-\alpha_j} \cos\pi\eta_{i+1})^{1/2}$$

$$\alpha_j = \frac{1}{2k} \log \frac{1+\xi_j}{1-\xi_j}$$

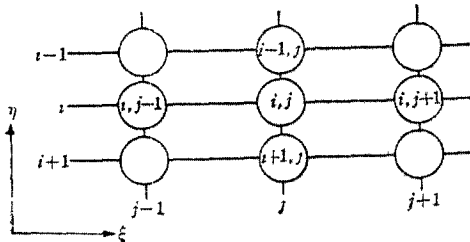


그림 2. 節點 기호

식(1)에 대하여서는 Allen⁽¹⁸⁾에 따라 다음과 같이 변형하였다. 먼저 식(2)는 다음과 같이 바꾸어 쓸 수 있다. 즉

$$\begin{aligned} & k^2(1-\xi^2)^2 \left\{ \frac{\partial^2\zeta}{\partial\xi^2} - \left[1 - \xi^2 + \frac{R}{k(1-\xi^2)} \frac{\partial\phi}{\partial\eta} \right] \frac{\partial\zeta}{\partial\xi} \right\} \\ & - \left[\frac{\partial^2\zeta}{\partial\eta^2} + kR(1-\xi^2) \frac{\partial\phi}{\partial\xi} \frac{\partial\zeta}{\partial\eta} \right] = 0 \end{aligned}$$

또는

$$k^2(1-\xi^2)^2 A + B = 0 \quad (7)$$

$$\begin{aligned} A &= \frac{\partial^2\zeta}{\partial\xi^2} - \left[\frac{2\xi}{1-\xi^2} + \frac{R}{k(1-\xi^2)} \frac{\partial\phi}{\partial\eta} \right] \frac{\partial\zeta}{\partial\xi} \\ &= \frac{\partial^2\zeta}{\partial\xi^2} + \kappa \frac{\partial\zeta}{\partial\xi} \end{aligned} \quad (8)$$

$$\begin{aligned} B &= -\frac{\partial^2\zeta}{\partial\eta^2} + kR(1-\xi^2) \frac{\partial\phi}{\partial\xi} \frac{\partial\zeta}{\partial\eta} \\ &= -\frac{\partial^2\zeta}{\partial\eta^2} + \lambda \frac{\partial\zeta}{\partial\eta} \end{aligned} \quad (9)$$

A 및 k 를 常數로 생각하면 微分方程式(8)의 解는

$$k\zeta = A\xi + B - G \exp(-\kappa\xi) \quad (10)$$

와 같이 된다. 여기에 節點 $(i, j-1), (i, j)$ 및 $(i, j+1)$ 에서의 값들을 代入하면 A, B, G에 對한 3개의 代數 방정식에 얻어지고 이를 풀면 A는 다음과 같이 된다. 즉

$$A = \frac{\kappa [\exp(\kappa a) (\zeta_{i,j+1} - \zeta_{i,j}) - (\zeta_{i,j} - \zeta_{i,j-1})]}{a [\exp(\kappa a) - 1]} \quad (11)$$

같은 방법으로 B를 구하면

$$B = \frac{\lambda [\exp(\lambda b) (\zeta_{i-1,j} - \zeta_{i,j}) - (\zeta_{i,j} - \zeta_{i,j+1})]}{b [\exp(\lambda b) - 1]} \quad (12)$$

κ 및 λ 는 통상의 차분법을 적용하여 구하고, 식(11), (12), 를 식(7)에 代入하면 식(1)에 對한 다음과 같은 代數 방정식이 얻어진다. 즉

$$\begin{aligned} & C_{i,j} \zeta_{i,j} - C_{i,j-1} \zeta_{i,j-1} - C_{i,j+1} \zeta_{i,j+1} - C_{i-1,j} \zeta_{i-1,j} - \\ & C_{i+1,j} \zeta_{i+1,j} = 0 \end{aligned} \quad (13)$$

여기서

$$C_{i,j-1} = k^2(1-\xi_j^2)^2 \frac{\kappa_{i,j}}{a [\exp(\kappa_{i,j} a) - 1]}$$

$$C_{i,j+1} = C_{i,j-1} \exp(\kappa_{i,j} a)$$

$$C_{i+1,j} = \frac{\lambda_{i,j}}{b [\exp(\lambda_{i,j} b) - 1]}$$

$$C_{i-1,j} = C_{i+1,j} \exp(\lambda_{i,j} b)$$

$$C_{i,j} = C_{i,j-1} + C_{i,j+1} + C_{i-1,j} + C_{i+1,j}$$

$$\kappa_{i,j} = - \left[\frac{2\xi_j}{1-\xi_j^2} + \frac{R}{k(1-\xi_j^2)} \frac{\phi_{i-1,j} - \phi_{i+1,j}}{2b} \right]$$

$$\lambda_{i,j} = kR(1-\xi_j^2) \frac{\phi_{i,j+1} - \phi_{i,j-1}}{2a}$$

식 (13) 및 (6)는 계산에 편리하도록 다음과 같이 변형한다. 즉 n 번째 구한 값들을 上添字 n 을 써서 表示하고, 식 (13)과 (6)을 各各

$$\begin{aligned}
 C_{i,j}^{n-1} \zeta_{i,j}^n - C_{i,j-1}^{n-1} \zeta_{i,j}^{n-1} - C_{i+1,j}^{n-1} \zeta_{i,j+1}^n \\
 = C_{i-1,j}^{n-1} \zeta_{i-1,j}^n - C_{i+1,j}^{n-1} \zeta_{i+1,j}^{n-1} \quad (14) \\
 2 \left[k^2 (1 - \xi_j^2)^2 + \frac{a^2}{b^2} \right] \phi_{i,j}^n - k^2 (1 - \xi_j^2) (1 - \xi_j^2 - a \xi_j) \phi_{i,j-1}^n \\
 = a^2 h_{i,j}^2 \zeta_{i,j}^n + \frac{a^2}{b^2} \phi_{i-1,j}^n + \frac{a^2}{b^2} \phi_{i-1,j}^{n-1} \quad (15)
 \end{aligned}$$

와 같이 변형한다.

또 $r_j=1$ 에서의 高度 $\zeta_{i,j}^n$ 에 대하여서는 식 (5)로부터

$$\begin{aligned}
 \zeta_{i,j}^n &= \frac{1}{h_{i,j}^2} \frac{2(\phi_{1,j}^{n-1} - \phi_{2,j}^{n-1})}{a^2} \\
 &= \frac{1}{h_{i,j}^2} \frac{2(1 - \phi_{2,j}^{n-1})}{a^2} \quad (16)
 \end{aligned}$$

$$h_{i,j}^2 = |1 - e^{-r_j \alpha_j}|$$

$$\alpha_j = \frac{1}{2k} \log \frac{1 + \xi_j}{1 - \xi_j}$$

와 같이 된다.

실제 계산은 다음과 같이 하였다.

먼저 앞에서 구한 $\phi_{i,j}^{n-1}$ 를 代入하여 식 (16)으로 부

터 $\zeta_{i,j}^n$ 를 구하고 계속하여 $i=2$ 부터 차례로 연립

방정식(14)를 풀어 $\zeta_{i,j}^n$ 를 구한 다음, 이 값들을

식 (15)에 代入하여 $\phi_{i,j}^n$ 를 구한다. 이를 반복하여

강대 오차 $\left| \frac{\phi_{i,j}^n - \phi_{i,j}^{n-1}}{\phi_{i,j}^n} \right|$ 및 $\left| \frac{\zeta_{i,j}^n - \zeta_{i,j}^{n-1}}{\zeta_{i,j}^n} \right|$ 의 값이 10^{-6}

보다 작아지면 解 $\zeta_{i,j}$ 및 $\phi_{i,j}$ 가 구하여진 것으로 하였다. 다음 구해진 해를 식 (3) 및 (4)에 代入하여 $r=0$ 에서의 流速와 壓力을 구하였다. 壓力을 구하기 위한 적분은 Simpson의 적분공식을 이용하였다.

IV. 計算結果 및 考察

실제의 계산은 $a = \frac{2}{75}$, $b = \frac{1}{30}$ 로 하여 Reynolds 數가 5 및 10인 경우에 대하여 하였으며 그 결과가 그림 3, 4, 5, 6 및 表 1에 주어져 있다.

그리 3 및 4에는 流線과 等高度線(equivorticity line)이 그려져 있다. 네측 할 수 있는 바와 같이 水槽의 上流와 管路의 下流에서는 流線이 直線으로 되고 있다. 下流에서는 流動이 完全 展開된 層流流動에 접근하고 있으며, 水槽内에서는 入口에서 멀어질수록 Jeffrey-Hamel 流動에 접근하

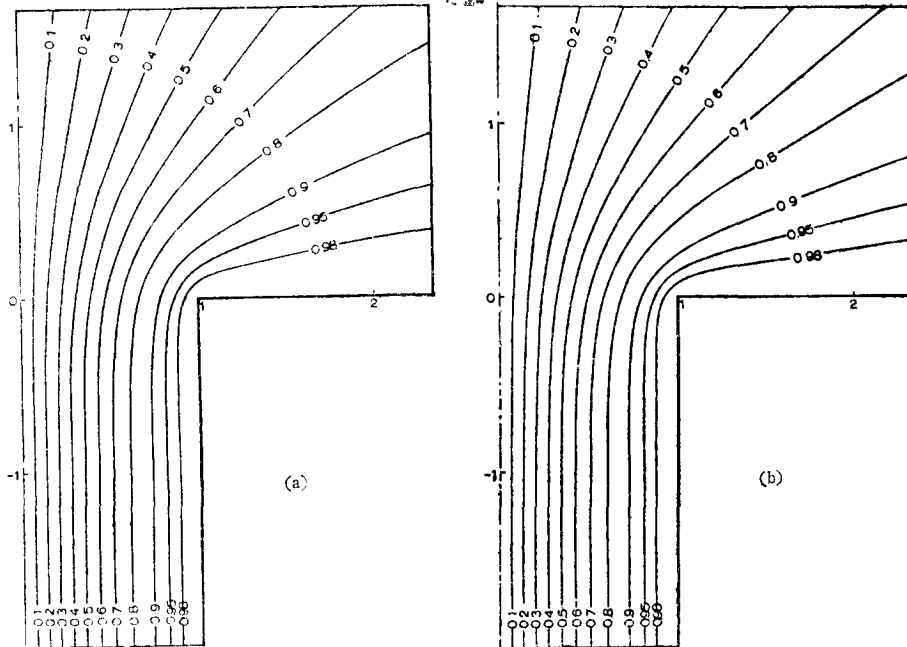


그림 3. 流線 (a) $R=5$, (b) $R=10$

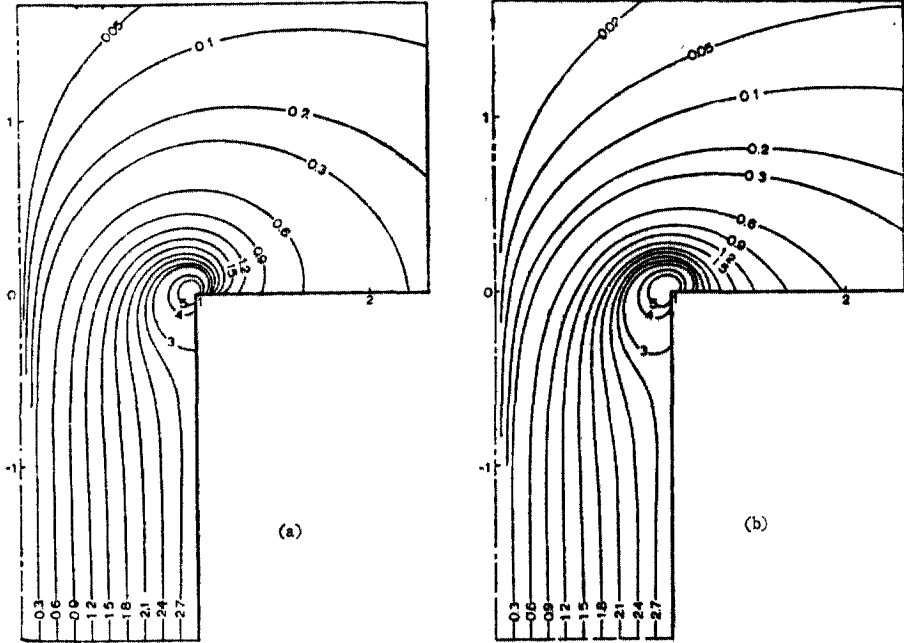


그림 4. 等溫度線 (a) $R=5$, (b) $R=10$

고 있다. 실제 계산된 결과치를 보면 入口로부터 管路幅의 5내지 10배 되는 위치에서는 計算된 流動函數의 값이 Jeffrey-Hamel 流動의 解로부터 구한 값에 비하여 1%이상 틀리지 않음을 보여 주고 있다. 물론 이 보다 먼 위치에서는 無限大에서 potential 流動이라는 非現實的인 假定을 하여 경계 조건을 준 관례로 Jeffrey-Hamel의 解와는 상당히 다른 값을 보여 주고 있다.

그림 3에서 알 수 있는 또 하나의 중요한 사실은 입구 단면에서 관로 방향 즉 x -방향의 流速成分 u_x 가 均一하지 않고 이미 상당히 拋物線의 形으로 展開되어 있을뿐만 아니라 y -방향의 速度成分 u_y 가 無視될 수 있을 정도로 작지도 않다는 것이다. 물론 Reynolds數가 큰 경우가 작은 경우에 비하여 u_x 의 分布는 좀더 平坦하기는 하지만, x -방향 速度成分에 對한 y -방향 速度成分의 비 u_y/u_x 는 훨씬 커져 있음을 보여 주고 있다. 이는 이전의 많은 研究者들에 의하여 假定된 사실 즉 入口斷面에서는 y -방향의 速度는 무시될 수 있고, x -방향의 速度는 均一할 것이라는 사실과 틀린 현상으로 이로부터 몇가지 條件의 연구 결과와는 다른 결론이 얻어질 수 있다.

첫째로 y -방향의 速度成分 때문에 管路 中央部의 流體가 훨씬 빨리 加速되고 入口 길이(entrance length)가 짧아질 것이다. 실제로 그림 5를 보면 Reynolds數가 10인 경우가 5인 경우보다 入口길이

x/L 은 약간 가나, 相對的인 入口 길이 x/LR 은 훨씬 짧아져 있음을 알 수 있다. 두 경우 다 Schlichting⁽²⁾이 구한 入口길이보다는 훨씬 짧은 값을 보여 주고 있다.

두째로 入口斷面에서의 均一流動을 가정하면 入口部分에서는 관로 중심에서보다도 이로부터 관로벽 쪽으로 약간 떨어진 位置에서 最大速度가 나타나는데 (8,9,10,11,12) 그림 3에서 알 수 있는바와 같이 본 연구 결과에서는 그러한 현상이 안 나타나고 있다.

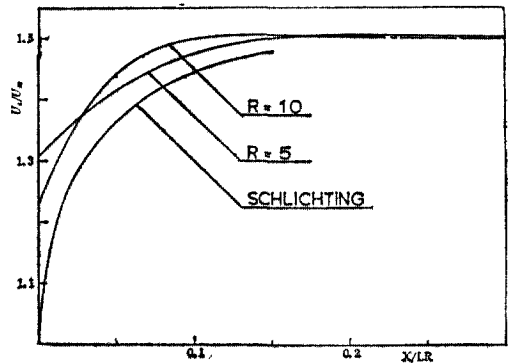


그림 5. 管路中心에서의 流速

세째로 관로중심선상에서의 유속 u_c 는 입구단면에서의 平均流速 u_m 으로부터 점차 증가하여 完全 展開되었을때의 流速인 $1.5u_m$ 으로 접근하는 것으로 알려져 있으나 본 연구결과에 의하면 관로의 어떤 위

키에서 最大速度 (약 1.51u_m 정도)가 되었다가 점차 감소하면서 1.5u_m에 이르고 있다. (그림 5).

이러한 현상은 모두가 入口에서의 y-方向速度成分 u_y 때문에 관로 중앙부의 流速가 보다 빨리 加速됨으로 일어나는 결과가 아닌가 생각된다.

이상의 논의는 특히 제한된 시간 결과에 근거하는 것으로 다음과 같은 지에서 충분하다고 볼 수가

表 1

Reynolds 數 (R)	入口斷面에서의 最大速度 (u _c /u _m)	管各에서 의 最大速度 (u _{ms} /u _m)	管路에서 最大速度가 일정한 常數 (X _{ms} /LR)	壓力降下式에서의 常數 (m)
5	1.303	1.5033	0.221	1.333
10	1.231	1.5053	0.139	1.103

없다. 즉 관로의 大部分이 한 단극 피어싱 수조의 벽과 관로가 매우하게 연결되어 있고, Reynolds數가 충분히 큰 경우에도 후 연구결과와 비슷한 결과가 얻어질 것인가 또는 입구에서 均一流動이 이루어질 것인가는 현재의 결과만 가지고는 알 수가 없다. 또 그림 3을 보면 유동의 분리(separation)현상은 나타나지 않고 있으나 Reynolds數가 커질 경우에도 유동의 분리 현상이 일어나지 않을 것인가에 대해서도 결론을 내리기는 어렵다.

그림 6은 관로 중심에서의 압력 변화를 보여주었다. 일반적으로 충분히 길게된 부분에서의 壓力 p는 다음 식으로 도출할 수가 있다, 즉

$$\frac{p_0 - p}{\rho u_m^2} = 3 \frac{x}{LR} + m \tag{17}$$

이에서 p₀는 水槽 上流에서의 壓力를 表示하고, m은 입구 부분에서의 추가 압력 손실을 나타내는 상수로서, 계산치가 표 1에 주어져 있다.

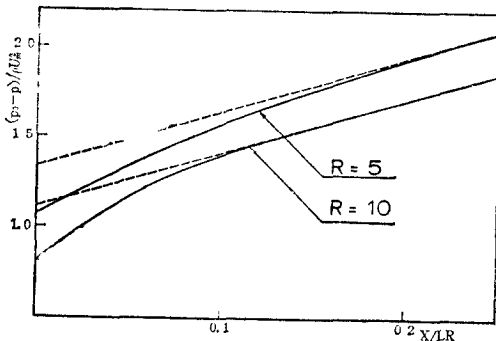


그림 6. 管路中心에서의 壓力

V. 結 論

運動方程式의 어떠한 頂도 省略하지 않았다는 意味에서 完全하고, 水槽와 管路를 同時に 流動領域으로 고려하였다는 의미에서 보다 실제에 가깝게 入口 流動問題를 해석하였으며 다음과 같은 결론이 얻어졌다.

1. 入口단면에서 이미 流動이 상당히 拋物線的으로 展開되고 있으며, 관벽에 수직인 方向의 속도분포가 관내에서의 속도조건에 상당한 영향을 미친다.
2. 관로 중심선의 어떤 位置에서 最大速度가 나타나는데 이 곳은 均流선적으로 완전히 일정한 位置에서의 流速가 1.5배보다 약간 크다.

後 記

本 연구는 1976年度 文教部 研究費에 의하여, 그리고 研究費를 지원하여준 文教當局에 감사할 모른다.

參 考 文 獻

1. SCHILLER, L., *ZAMM*, Vol. 2, p. 96, (1922).
2. SCHLICHTING, H., *ZAMM*, Vol. 11, p. 363, (1934).
3. COLLINS, M. and W.R. SCHWALTER, *Phys. of Fluids*, Vol. 5, p. 1122, (1962).
4. LANGHAAR, H.L., *J. Appl. Mech.*, Vol. 9, p. 55, (1942)
5. SPARROW, E.M., S.H. LIN, and T.S. LUNDGREN, *Phys. of Fluids*, Vol. 7, p. 333, (1934).
6. LEW, H.S., *J. Biomechanics*, Vol. 6, p. 205, (1973).
7. BODOIA, J.R. and J.F. OSTERLE, *Appl. Sci. Res.*, Ser. A. Vol. 10, p. 265, (1931)
8. HORNBECK, R.W., *Appl. Sci. Res.*, Ser. A, Vol. 13, p. 224, (1964).
9. WANG, Y.L. and P.A. LONGWELL, *AIChE J.*, Vol. 10, p. 323, (1964).
10. BRANDT, A. and J. GILLIS, *Phys. of Fluids*, Vol. 9, p. 690, (1936).
11. FRIEDMANN M., J. GILLIS, and N. LIRON, *Appl. Sci. Res.*, Vol. 19, p. 426, (1968).
12. McDONALD, J.W. et. al., *J. Appl. Mech.*, Vol. 39, p. 873, (1972).
13. KOH, Y.M., *Master Thesis*, Seoul National Univ., (1974).
14. ROSENHEAD, L., *Proc. Roy. Soc.*, Ser. A, Vol. 175, p. 436, (1940).
15. MILLSAPS, K. and K. POHLHAUSEN, *J. Aero. Sci.*, Vol. 20, p. 187, (1953).
16. ALLEN, D.N. de G. and R.V. SOUTHWELL, *Quat. J. Mech. and Appl. Math.*, Vol. 8, p. 129, (1955).